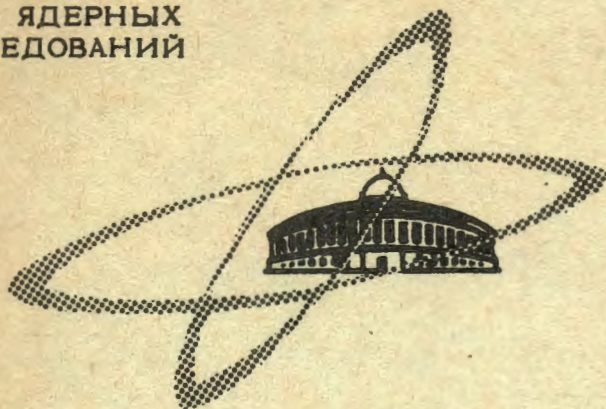


T-484

ОБЪЕДИНЕННЫЙ
ИНСТИТУТ
ЯДЕРНЫХ
ИССЛЕДОВАНИЙ

Дубна



P13 - 3726

Л.Г.Ткачев

ЛАБОРАТОРИЯ ЯДЕРНЫХ ПРОЦЕССОВ

НЕКОТОРЫЕ ВОПРОСЫ ТЕОРИИ РОСТА
И КОНДЕНСАЦИИ ПУЗЫРЬКОВ
В ПУЗЫРЬКОВЫХ КАМЕРАХ

1968

Р13 - 3726

Л.Г.Ткачев

НЕКОТОРЫЕ ВОПРОСЫ ТЕОРИИ РОСТА
И КОНДЕНСАЦИИ ПУЗЫРЬКОВ
В ПУЗЫРЬКОВЫХ КАМЕРАХ

7304/2 нр.

Практические потребности развития техники пузырьковых камер представляют собой одну из важных причин, стимулирующих теоретические и экспериментальные исследования поведения пузырьков в жидкости, в частности, исследования процессов асимптотического роста и конденсации пузырьков.

Основные закономерности поведения парового пузырька в перегретой жидкости изучались в работах Плесета и Цвика^{/1/}, Форстера и Цубера^{/2/}. Они показали, что скорость роста пузырька^{x/} в жидкости зависит от ряда факторов: инерции и вязкости жидкости, скорости звука в жидкости и в паре, скорости испарения жидкости и скорости подвода тепла из окружающей жидкости к стенке пузырька. В области, где радиус пузырька R много больше критического, фактором, определяющим скорость роста пузырька, является скорость теплопередачи в жидкости. Из-за малой скорости роста пузырька по сравнению со скоростью звука процесс теплопередачи рассматривается при условии, что давление в жидкости равно давлению пара в пузырьке, а температура жидкости на границе пузырька T_0 равна температуре пара и определяется из условия равновесия пара и жидкости при данном давлении.

Результаты, полученные в работах^{/1,2/}, находятся в хорошем соответствии с экспериментальными данными Дергарабедяна^{/3/}, который изучал рост пузырьков в перегретой воде. Однако измерения скорости роста и конденсации пузырьков в жидководородных пузырьковых камерах, полученные в работах Альвареца^{/4/}, Фабиана и др.^{/5/}, Харигела и др.^{/6/}, свидетельствуют об определенном расхождении с результатами теоретических

^{x/} Следует иметь в виду, что излагаемая теория роста пузырьков автоматически переносится на процесс их конденсации с изменениями, о которых указывается только там, где это необходимо.

исследований^{/1,2/}. В работе Александра и др.^{/7/} показано, что на скорость роста и конденсации пузырьков существенно влияет всплывание пузырьков, однако его учёт не устраняет расхождения с экспериментальными данными, причём отклонение от теоретических величин составляет 10 + 30% в случае роста пузырьков и достигает 300% в случае их конденсации.

Настоящая работа представляет собой попытку выяснения причин расхождения теоретических и экспериментальных значений скорости роста пузырьков в перегретой жидкости. Целесообразно дать краткую формулировку основных положений теории роста (конденсации) пузырьков в жидкости^{/1,2,8/}, прежде чем переходить к ее критическому анализу. Чтобы не усложнять задачу, всплывание пузырьков в данной работе не рассматривается, к тому же его исследование^{/7/} само базируется на результатах теории поведения неподвижных пузырьков. Если не учитывать всплывания, мы имеем дело со сферически симметричной задачей отыскания решения трех уравнений:

$$\frac{4\pi}{3} L \rho' \frac{dR^3}{dt} = 4\pi R^2 k \frac{\partial T}{\partial R}; \quad (1)$$

$$\frac{\partial \rho}{\partial t} + \frac{1}{r^2} \frac{\partial}{\partial r} (\rho r^2 \dot{r}) = 0; \quad (2)$$

$$c_p \rho \frac{dT}{dt} = \frac{1}{r^2} \frac{\partial}{\partial r} (r^2 k \frac{\partial T}{\partial r}); \quad (3)$$

уравнения сохранения энергии при испарении жидкости с поверхности пузырька (1), уравнения непрерывности (2) и уравнения теплопроводности (3) с соответствующими граничными и начальными условиями

$$T(R, t) = T_0, \quad T(\infty, t) = T_\infty, \quad T(r, 0) = T_\infty, \quad (4)$$

где L, ρ' - теплота испарения и плотность пара, k, ρ, c_p - теплопроводность, плотность, теплоемкость жидкости при постоянном давлении, r - радиальная координата точки в жидкости, t - время, $T(r, t)$ и T_∞ - температура в прилегающем слое^{х/} и на большом удалении от центра пузырька. Уравнение (1) справедливо при условии, что давление в системе не зависит от времени, причём все величины, входящие в уравнение, вычислены в точке на границе пузырька. При решении уравнений (1)-(3) предполагается, что теплофизические параметры k, ρ, c_p являются не зависящими от температуры константами^{хх/}. Исходная система уравнений становится проще, если перейти к новым независимым переменным и к новой искомой функции согласно преобразованию:

$$h = \frac{r^3 - R^3}{3}; \quad r = D \int_0^t R^4(t) dt, \quad \theta = \frac{T - T_\infty}{\Delta T}, \quad (5)$$

где $D = \frac{k}{\rho c_p}$ - так называемая температуропроводность жидкости, а $\Delta T = T_\infty - T_0^p$ - перегрев жидкости. В результате этого преобразования уравнения (1)-(3) и дополнительные условия (4) трансформируются к виду:

$$\frac{dR^3}{dr} = \frac{3k \Delta T}{DL \rho'} \frac{\partial \theta(0, r)}{\partial h}, \quad (6)$$

$$\dot{h} = 0 \quad (7)$$

$$\frac{\partial \theta}{\partial r} = \frac{\partial}{\partial h} \left[\left(1 + \frac{3h}{R^3} \right)^{\frac{4}{3}} \frac{\partial \theta}{\partial h} \right], \quad (8)$$

^{х/}Слой жидкости у поверхности пузырька, в котором происходит изменение температуры от T_0 до T_∞ .

^{хх/}Справедливость такого предположения для случаев воды и жидкого водорода анализируется ниже.

$$\theta(0, r) = -1, \theta(\infty, r) = \theta(h, 0) = 0. \quad (9)$$

При решении уравнения (8) возникают трудности, так как оно содержит неизвестную функцию $R(r)$. Эти трудности удается обойти, если предположить, что отношение $\frac{3h}{R^3} \ll 1$, так как в этом случае можно воспользоваться методом теории возмущений. Нетрудно показать, что в нулевом приближении решение системы уравнений (6)-(8) имеет вид:

$$\theta = -1 + \frac{2}{\sqrt{\pi}} \int_0^{h/2\sqrt{r}} e^{-x^2} dx \quad (10)$$

$$R^3 = \frac{6 \Delta T k}{L \rho' D \sqrt{\pi}} \sqrt{r} \equiv 6 A_0 \sqrt{r}. \quad (11)$$

После того, как решение $\theta = \theta(h, r)$ и $R^3 = R^3(r)$ найдено, можно вычислить среднее значение величины $\frac{3h}{R^3}$ с тем, чтобы проверить исходное предположение о ее малости. По определению получаем:

$$3 \left\langle \frac{h}{R^3} \right\rangle \equiv \frac{\int_0^\infty \frac{3h}{R^3} \theta(h, r) dh}{\int_0^\infty \theta(h, r) dh} = \frac{\pi}{4} \frac{L \rho' D}{k \Delta T} \quad (12)$$

Физический смысл величины $3 \left\langle \frac{h}{R^3} \right\rangle$, как ясно из соотношения (12), - это отношение объема прилегающего слоя к объему пузырька. Ниже, в таблице 1, приводятся значения $3 \left\langle \frac{h}{R^3} \right\rangle$, вычисленные по формуле (12) для воды и жидкого водорода с тем, чтобы сравнить, насколько применимо принятое приближение как в случае роста, так и в случае конденсации пузырьков. Здесь же приведены зависимости от температуры параметров k, ρ, c_p .

Таблица 1

Наполнитель	H ₂ O	H ₂	90 % H + 10% Ne
T _∞ ^o K рост = 5	378	25	27
3 < $\frac{h}{R^3}$ > рост (Δ T = 5)	0,05	0,15	0,01
3 < $\frac{h}{R^3}$ > конденс (Δ T = 2)	0,1	1	0,2
$\frac{1}{k} \left(\frac{dk}{dT} \right)$	10 ⁻³	3.10 ⁻²	2.10 ⁻²
$\frac{1}{\rho} \left(\frac{d\rho}{dT} \right)$	-2.10 ⁻⁴	-3.10 ⁻²	-2.10 ⁻²
$\frac{1}{c_p} \left(\frac{dc_p}{dT} \right)$	3.10 ⁻⁴	7.10 ⁻²	0,1

Значения параметров, приведенных в этой таблице, получены экспериментально в работах^{/3-6,9-11/}. Ввиду большой перспективности использования неон-водородных смесей для наполнения пузырьковых камер^{/11/} так же приведены данные для смеси 90 мол % водорода и 10 мол % неона^{x/}.

Как следует из таблицы 1, предположение о малости величины $3 < \frac{h}{R^3} >$ справедливо для случая роста пузырьков и, вообще говоря, теряет силу в случае конденсации. Дело в том, что величина перегрева ΔT, от которой зависит $3 < \frac{h}{R^3} >$, согласно соотношению (12), в процессе конденсации пузырьков существенно меньше, чем в процессе роста.

Что касается зависимости величин k , ρ , c_p от температуры, то для жидкого водорода она в 10 + 100 раз сильнее, чем для воды, так что при перегреве в 5^o на протяжении прилегающего слоя значения k , ρ , c_p меняются на 15 + 35% в случае жидкого водорода и только на 0,1 + 0,5% в случае воды. Следовательно, первоначальное предположение о постоянстве теплофизических параметров в прилегающем слое в случае жидкого водорода не оправдано.

Таким образом, анализ данных из таблицы 1 позволяет заключить, что имеются некоторые основания для разногласия теоретических расчётов скорости роста (конденсации) пузырьков с экспериментальными данными для водорода. Чтобы найти более удовлетворительное согласие между теоретическими и экспериментальными данными, необходимо решить более общую задачу: во-первых, без предположения о малости величины $\frac{3h}{R^3}$ в уравнении (8); во-вторых, желательно учесть в исходных уравнениях зависимость теплопроводности, плотности и теплоемкости жидкости от температуры.

^{x/} Данные взяты из работы^{/10/}.

Зависимость теплофизических параметров k , ρ и c_p от температуры сильно усложняет решение исходной системы уравнений. Поэтому пренебрегаем зависимостью величин k и ρ от температуры, так как в случае жидкого водорода она слабее, чем зависимость $c_p(\theta)$. Теплоемкость как функцию температуры представляем двумя членами ряда Тейлора:

$$c_p(\theta) = c_{p\infty} (1 + a\theta), \quad (13)$$

где $c_{p\infty}$ — теплоемкость жидкости вне прилегающего слоя, а безразмерный параметр разложения a в случае жидкого водорода равен $\approx 0,35$ при $\Delta T = 5$ и $T = 25^\circ \text{K}$.

Таким образом, вместо линейного уравнения (8) получаем квазилинейное уравнение:

$$(1 + a\theta) \frac{\partial \theta}{\partial r} = \frac{\partial}{\partial h} \left[\left(1 + \frac{3h}{R^3}\right)^{\frac{4}{3}} \frac{\partial \theta}{\partial h} \right], \quad (14)$$

причём величина $\frac{3h}{R^3}$ может принимать произвольные значения. Решение этого уравнения осложняется наличием как нелинейного члена, так и неизвестной функции $R(r)$. Однако свойства симметрии уравнения (14) позволяют упростить задачу. Действительно, как уравнение (14), так и уравнения (6–9) инвариантны при преобразовании:

$$r \rightarrow m^2 r, \quad h \rightarrow m h, \quad (15)$$

поэтому решение можно искать в виде $\theta = \theta(s)$, где $s = \frac{h}{2\sqrt{r}}$. Отсюда следует, что зависимость $R(r)$ может быть представлена следующим образом:

$$R^3 = 6A \sqrt{r} \quad (16)$$

или, учитывая связь между переменными r и t ,

$$R = \sqrt{12 D} \quad A \sqrt{t} \quad , \quad (16)$$

где A - не зависящая от r постоянная, которая определяется в результате решения системы уравнений (6,7,9,14). Подстановка $\theta = \theta(s)$ позволяет записать эти уравнения в виде:

$$A = \frac{\sqrt{\pi}}{2} A_0 \frac{d\theta(0)}{ds} \quad , \quad (17)$$

$$2(1 + \alpha\theta) s \frac{d\theta}{ds} = - \frac{d}{ds} \left[\left(1 + \frac{s}{A}\right)^{\frac{4}{3}} \frac{d\theta}{ds} \right] \quad . \quad (18)$$

$$\theta(0) = -1, \quad \theta(\infty) = 0. \quad (19)$$

Уравнение (18) представляет собой обыкновенное квазилинейное дифференциальное уравнение, решение которого зависит от двух параметров α и A . Параметр α , по определению, должен быть мал по сравнению с единицей, поэтому решение уравнения (18) проще всего искать в виде ряда по α . В линейном приближении получаем:

$$\theta = \theta_1 + \alpha \theta_2 \quad . \quad (20)$$

Так как параметр A также зависит от α , то, наряду с разложением (20), необходимо одновременно разлагать и его

$$A = A_1 + \alpha A_2 \quad (21)$$

В результате разложения система уравнений (17)–(19) распадается на две системы. Система уравнений в нулевом приближении по α имеет вид:

$$A_1 = \frac{\sqrt{\pi}}{2} A_0 \frac{d\theta_1(0)}{ds},$$

$$2s \frac{d\theta_1}{ds} + \frac{d}{ds} \left[\left(1 + \frac{s}{A_1}\right)^{\frac{4}{3}} \frac{d\theta_1}{ds} \right] = 0 \quad (22)$$

$$\theta_1(0) = -1, \quad \partial\theta_1(\infty) = 0.$$

После того, как найдено решение $\theta_1(s)$ и A_1 , определяется система уравнений первого приближения по α

$$A_2 = \frac{\sqrt{\pi}}{2} A_0 \frac{d\theta_2(0)}{ds},$$

$$2s \frac{d\theta_2}{ds} + \frac{d}{ds} \left[\left(1 + \frac{s}{A_2}\right)^{\frac{4}{3}} \frac{d\theta_2}{ds} \right] =$$

$$= -2s\theta_1 \frac{d\theta_1}{ds} + \frac{d}{ds} \left[\left(1 + \frac{s}{A_1}\right)^{\frac{1}{3}} \frac{4sA_2}{3A_1^2} \cdot \frac{d\theta_1}{ds} \right], \quad (23)$$

$$\theta_2(0) = \theta_2(\infty) = 0.$$

Получившиеся уравнения довольно легко решаются, причём решения θ_1 и θ_2 выражаются в квадратурах, которые имеют громоздкий вид и поэтому не приводятся. После того, как найдены решения θ_1 и θ_2 ,

окончательные уравнения для определения параметров A_1 и A_2 имеют следующий вид:

$$-1 + \frac{6A_1^2}{\sqrt{\pi}A_0} \int_0^1 \exp[3A_1^2\phi(x)] dx = 0, \quad (24)$$

$$A_2 = \frac{6A_1^3 \int_0^1 \exp[3A_1^2\phi(y)] dy \int_y^1 (t^{-3} - 1) dt [-1 + \frac{6A_1^2}{\sqrt{\pi}A_0} \int_0^1 \exp[3A_1^2\phi(z)] dz]}{\int_0^1 \exp[3A_1^2\phi(y)] [-\frac{4}{3}y^3 + \frac{7}{3} - 2A_1^2(2y^{-2} + 8y - y^4 - 9)] dy}, \quad (25)$$

где $\phi(x) \equiv \frac{-1 + 3x^2 - 2x^3}{x^2}$ и $A_0 = \frac{\Delta T \cdot k}{l \cdot \rho' D \sqrt{\pi}}$ — фактор,

определяющий скорость пузырька при условиях, что $a=0$ и $\frac{3h}{R^3} \ll 1$. Получившиеся уравнения (24) и (25) решаются с помощью численного интегрирования.

Результаты численного решения представлены графически на рис. 1–3. В качестве независимой переменной удобно выбрать параметр A_0 или A_1 . Такой выбор позволяет естественным образом разбить область изменения $A_0(A_1)$ на области, соответствующие росту и конденсации пузырьков, так что сразу видна роль рассматриваемых эффектов в обоих процессах.

На рис. 1 приведена зависимость величины $\frac{A_1}{A_0}$ как функции A_0 , которая характеризует влияние толщины прилегающего слоя на теоретическую скорость роста (конденсации) неподвижных пузырьков. Характер зависимости позволяет заключить, что:

- а) учёт члена $\frac{3h}{R^3}$ в уравнении теплопроводности приводит к увеличению теоретической скорости роста (конденсации) пузырьков;
- б) поправка к скорости роста невелика и лежит в пределах 8+15%, поправка к скорости конденсации пузырьков значительна и достигает 40+150%.

Что касается поправки, возникающей при учёте зависимости теплоемкости жидкости от температуры, то она представлена на рис. 2 с помощью величины $(-\frac{A_2}{A_1})$ как функции A_1 . Как видно из рисунка, поправка всюду отрицательна, причём возрастает с увеличением скорости роста (конденсации); в области роста она составляет $12 + 15\%$, в области конденсации - менее 10% .

Таким образом, суммарная поправка к скорости роста пузырька лежит в области $5 + 10\%$, поправка к скорости конденсации может достигать 150% и обусловлена, в основном, большой толщиной прилегающего слоя.

В связи с тем, что толщина прилегающего слоя играет существенную роль при рассмотрении динамики пузырьков в жидкости, на рис. 3 приводится зависимость величины $3 < \frac{h}{R^3} > = < \frac{r}{R^3} > - 1$ как функции A . Ее значения вычислялись в соответствии с определением (левая сторона соотношения (12)), причём пунктирная кривая получена с помощью решения Плесета-Цвика (10-11) с учётом зависимости между A_1 и A_0 , сплошная кривая получается, если воспользоваться решением системы уравнений (22) и соотношением (16). Из рис. 3 видно, что толщина прилегающего слоя мала в процессах роста пузырьков, причем, как и должно быть, обе кривые в этой области изменения A_1 совпадают. В случае конденсации величина $3 < \frac{h}{R^3} >$ может принимать произвольные, вообще говоря, большие значения, причем решение Плесета-Цвика дает заниженные значения толщины прилегающего слоя. Итак, первоначальный вывод, сделанный на основании приближенного рассмотрения процессов роста и конденсации пузырьков в пузырьковых камерах, усиливается при более точном рассмотрении.

В заключение уместно сравнить полученные результаты с имеющимися измерениями скорости роста и рекомпрессии пузырьков в водородных пузырьковых камерах.

а). Экспериментальные данные о росте пузырьков при постоянном давлении^{/3-6/} подтверждают, что $R = \sqrt{t}$, как это следует из общего вида уравнений (6-9,14).

б). Отличие теоретического и вычисленного экспериментально коэффициента пропорциональности в этой зависимости $R(t)$, достигающее 30% ^{/6/},

не может рассматриваться как доказательство несправедливости изложенного подхода, так как при вычислении экспериментального фактора не учитывалось изменение величин T , ρ и c_p при адиабатическом уменьшении давления от P_{\max} до P_{\min} /12/. Законы термодинамики определяют эти изменения следующим образом:

$$\delta T = \int_{P_{\max}}^{P_{\min}} \left(\frac{\partial T}{\partial p} \right)_S dp = \int_{P_{\max}}^{P_{\min}} \frac{T}{c_p} \left(\frac{\partial v}{\partial T} \right)_p dp, \quad (27)$$

$$\delta \rho = \int_{P_{\max}}^{P_{\min}} \left(\frac{\partial \rho}{\partial p} \right)_S dp = - \int_{P_{\max}}^{P_{\min}} \rho^2 \left[\left(\frac{\partial v}{\partial p} \right)_T + \frac{T}{c_p} \left(\frac{\partial v}{\partial T} \right)_p^2 \right] dp \quad (28)$$

$$\delta c_p = \int_{P_{\max}}^{P_{\min}} \left(\frac{\partial c_p}{\partial p} \right)_S dp = \int_{P_{\max}}^{P_{\min}} \frac{T}{c_p} \left[\left(\frac{\partial v}{\partial T} \right)_p \left(\frac{\partial c_p}{\partial T} \right)_p - c \left(\frac{\partial^2 v}{\partial T^2} \right)_p \right] dp, \quad (29)$$

где S –энтропия системы, $v \equiv \frac{1}{\rho}$ – удельный объем жидкости. Однако воспользоваться этими формулами трудно, так как необходимо знать зависимость плотности и теплоемкости от давления и температуры как в нормальной, так и метастабильной области. Игнорирование поправок (27-29) не позволяет сделать точное сравнение с теоретическими расчётами, так как нельзя в одном случае пренебрегать, а в другом учитывать эффекты одного и того же порядка.

в). Последнее замечание касается рекомпрессии пузырьков. Из нашего рассмотрения следует, что в этом случае толщина прилегающего слоя $\delta \approx R$. Однако в работе /7/ при исследовании рекомпрессии всплывающих пузырьков необоснованно предполагалось, что $\delta \ll R$. По-видимому, именно это обстоятельство является причиной большого несоответствия экспериментальных /6/ и теоретических /7/ данных о скорости рекомпрессии пузырьков в жидководородных пузырьковых камерах.

Важная роль всплывания пузырьков в процессе рекомпрессии несомненна, это подтверждается экспериментальными наблюдениями^{/8/}. В связи с этим было бы важно рассмотреть динамику всплывающих пузырьков с учётом результатов этой работы.

Автор считает своим приятным долгом выразить глубокую благодарность Л.Г.Заставенко и У.Кундту за стимулирующие обсуждения, а также Г.С.Воронову, Ю.П.Мерекову, Г.И.Селиванову и А.И.Филиппову за ценные замечания.

Л и т е р а т у р а

1. M.S.Plesset, S.A.Zwick, *J.Appl. Phys.*, 23, 95 (1952);
25, 493 (1954); 32, 308 (1955).
2. H.K.Forster, N.Zuber, *J.Appl. Phys.*, 25, 474 (1954).
H.K.Forster, *J.Appl. Phys.*, 25, 1067 (1954).
3. Dergarabedian P., *J.Appl. Mech.*, 75, 557 (1953).
4. L.Alvarez, *CERN Symposium on High Energy Physics*, 2, 1 (1956).
5. B.N.Fabian, R.L.Place, W.A.Rileg, W.H.Sims and V.P.Kenney,
Rev. Sci. Instr., 34, 484 (1963).
6. G.Harigel, G.Horlitz, S.Wolff, *Preprint DESY 67/14* (1967).
7. Ю.А.Александров, Г.С.Воронов, Н.Б.Делоне, *ПТЭ*, 1962, № 3, 50;
1963, № 2, 41.
8. L.A.Skinner and S.G.Bankoff, *Phys. Fluids* 7, 1 (1964);
8, 1417 (1965).
9. Дж.Кэй, Т.Лэби, *Таблицы физических и химических постоянных*, М 1962.
10. V.P.Kenney, W.D.Shephard, W.B.Madden, E.A.Harrington,
Preprint ANL. 60439 (1967).
11. R.Florent, C.FGeles, G.Harigel, H.Lentz, F.Schmeisner, I.Tischhauer,
G.Horlitz, S.Wolff, H.Filthuth, *Preprint DESY, Oct. 1967*.
12. Л.Д.Ландау, Е.М.Лифшиц, *Статистическая физика*. М 1964, стр. 69-73.

Рукопись поступила в издательский отдел

21 февраля 1968 года.

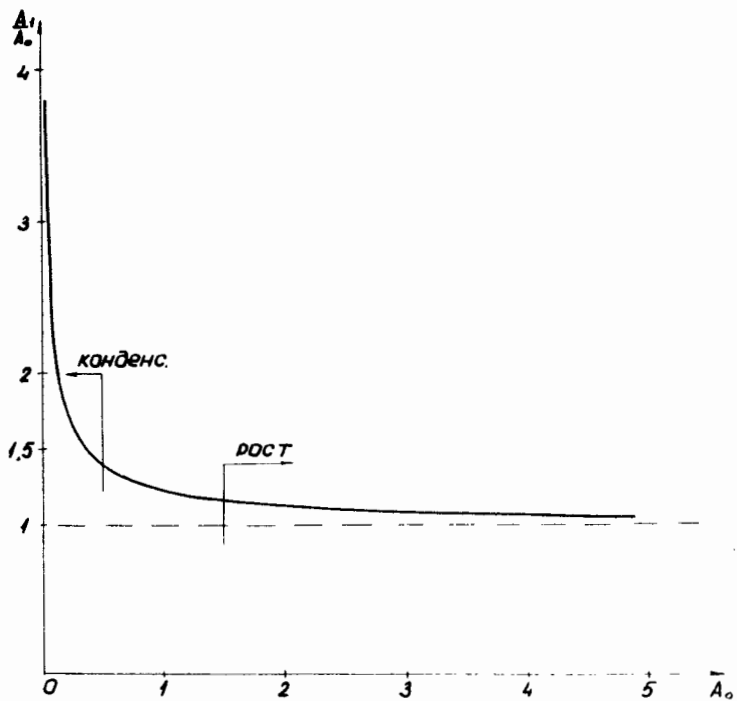


Рис. 1. Относительная поправка к теоретической скорости роста (конденсации) пузырька при точном учёте влияния толщины прилегающего слоя между пузырьком и жидкостью.

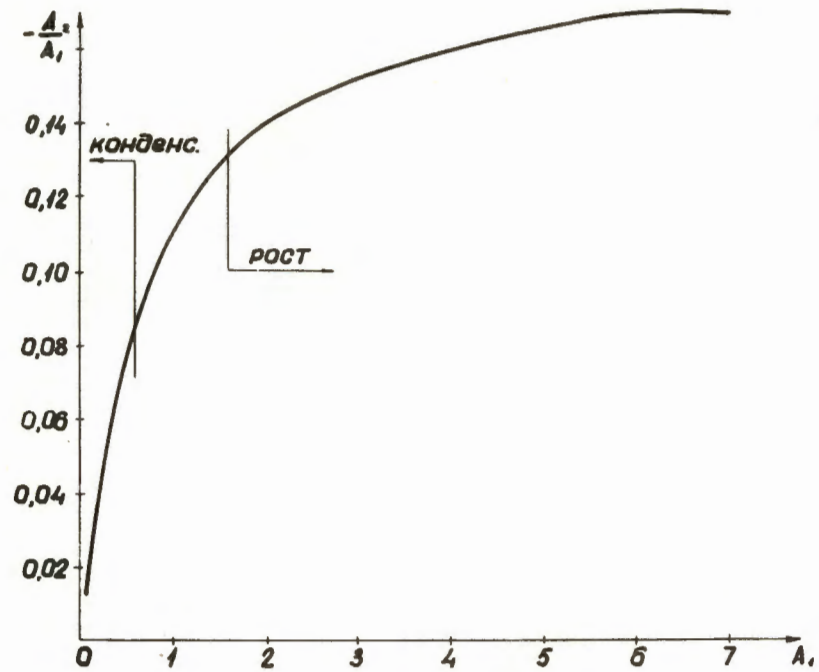


Рис. 2. Поправка к теоретической скорости роста (конденсации) пузырька, обусловленная зависимостью теплоемкости жидкости от температуры.

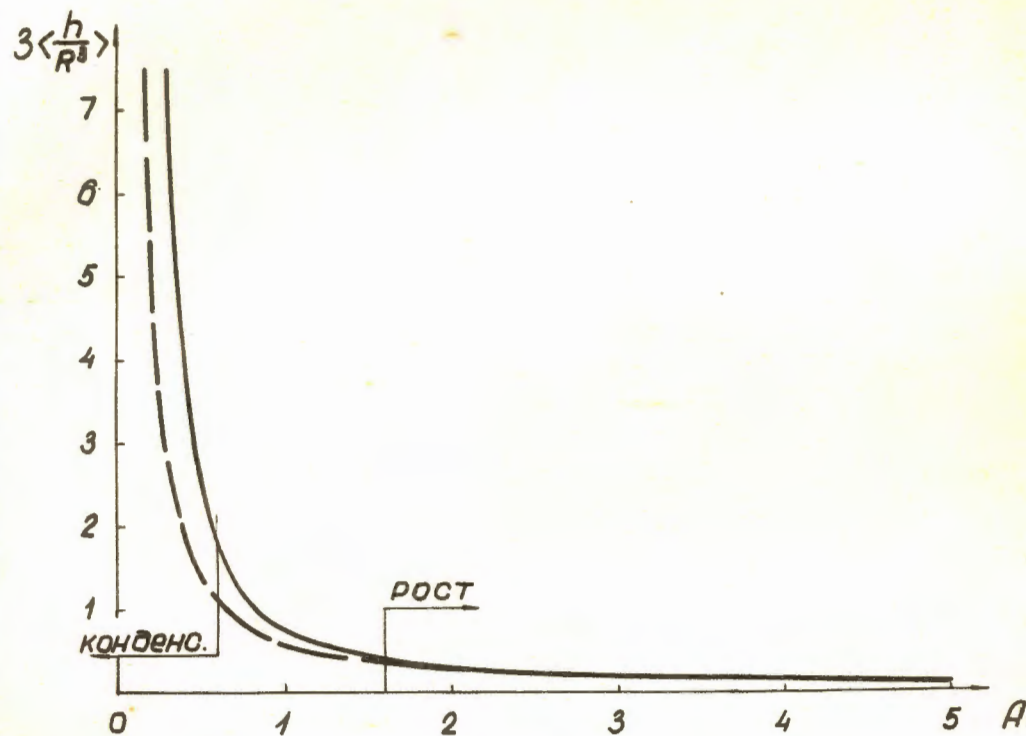


Рис. 3. Отношение объема прилегающего слоя к объему пузырька в процессах роста и конденсации пузырьков. Пунктирная линия соответствует решению Плесета-Швика, сплошная - решению, полученному в данной работе.